

# YÜKSEK LİNEERLİKTE DOTA GERÇEKLEŞTİRİLMESİ

Burçin Serter ERGÜN<sup>1</sup>

Hakan KUNTMAN<sup>2</sup>

<sup>1</sup>ALCATEL Teletas RFIC Tasarım Merkezi

1.Esenşehir Atatürk Caddesi, 81260, Yukarı Dudullu, İstanbul

<sup>2</sup>Elektronik ve Haberleşme Mühendisliği Bölümü

Elektrik-Elektronik Fakültesi

İstanbul Teknik Üniversitesi, 80626, Maslak, İstanbul

<sup>1</sup> e-posta:burcin.ergun@alcatel.com.tr

<sup>2</sup>e-posta: kuntman@ehb.itu.edu.tr

Anahtar sözcükler: DOTA, Geçiş İletkenliği, Akım Modlu Devreler

## ABSTRACT

This paper presents highly linear dual operational transconductance amplifier (DOTA) structure. A high output impedance structure is combined with a highly linear input stage which is easy to implement for on chip applications. With its high output impedance and highly linear characteristics, this structure can be used for several purposes. For wider usage area a DOTA structure is chosen to implement.

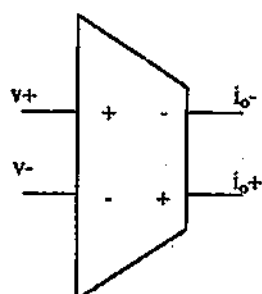
kuvvetlendirici (OTA) devreleridir. Bu yapılar işlemsel kuvvetlendiricilerden daha geniş bandlı olmaları ve eğimlerinin kontrol edilebilir olmaları nedeniyle gitikçe yaygınlaşmaktadır ve birçok devrede temel teşkil eder duruma gelmiştir.

## 2. OTA TANIM BAĞINTILARI

OTA elemanı çıkış akımı giriş gerilimi ile kontrol edilebilen bir elemandır. Tanım bağıntısı (1) bağıntısında görülmektedir.

$$i_o = g_m v_{in} \quad (1)$$

Günümüzde birçok uygulamada diferansiyel sistemler kullanıldığından OTA'nın diferansiyel çıkışlı olan i DOTA kullanılmaktadır. DOTA ya ilişkin simbol Şekil 1 de verilmiştir.



Şekil 1 DOTA simbolü

## 1. GİRİŞ

Son yıllarda kaynak değerlerinin azaltılmasına paralel olarak, gerilim modlu devrelerden, akım modlu devrelerle doğru bir yönelik gözlenmektedir. Bunun bir sonucu olarak da, süzgeç, osilatör gibi birçok gerilim modlu devrelerin akım modlu olarak tasarlanılmaya başlandığı görülmektedir. Böylece azalan kaynak değerlerine rağmen tasarımcılara esneklik sağlanmaktadır. Bu yönde gelişmelerin işığında işlemsel geçiş iletkenliği kuvvetlendirici (OTA), çok çıkışlı işlemsel geçiş iletkenliği kuvvetlendirici (DOTA) ve akım taşıyıcı (CCII) gibi çeşitli devre topolojileri üzerinde çalışmaların yoğunluğu görülmektedir. Bu yeni çalışmaların işığında da yeni devre topolojileri önerilmekte ve somut olarak da elemanların ideal davranışlarına olabildiğince yakın çalışmaları, böylece akım modlu olmalarının da avantajı kullanılarak, gerilim modlu devrelerde daha geniş bandlı ve lineer devreler elde edilebilmektedir.

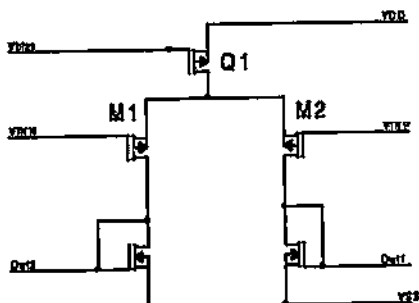
Akım modlu devrelerin en eski ve en sık kullanılanlarından biri de işlemsel geçiş iletkenliği

### 3.DEVRE TOPOLOJİLERİ

(1) de verilen tanım bağıntısından görüldüğü gibi giriş gerilimi ile çıkış akımı arasında idealde lineer bir ilişki bulunmaktadır. Fakat实践中 bu ilişki ancak belirli bir bölgesinde lineer olarak elde edilebilmektedir.

Bu lineer ilişki bölgesini olabildigince geniş tutmak tasarımını ideale yakalaştıracak ve uygulamalarda daha iyi sonuçlar ortaya çıkaracaktır.

Şekil 2-a da klasik bir DOTA devresinin giriş hücresi görülmektedir. Şekil 2-b de ise önerilen yüksek lineerlikteki giriş hücresi görülmektedir. Şekil 2 de görülen devreler üst tarafta bulunan PMOS transistorlar sayesinde bir akım kaynağından aynalanan akım ile çalışmaktadır. Teorik olarak orada bulunan ideal akım kaynaklarının yerine simülasyon-



Şekil 2 (a) Klasik OTA giriş hücresi

lar sırasında bu yapı kullanılarak devrenin gerçeklemeye daha yakın olması sağlanmıştır. Akımın aynalandığı PMOSların L'leri 10 $\mu$ m almıştır. Bumun sebebi, de akım kaynağının idealde sonsuz olan çıkış direnci değerine olabildigince yakm bir çıkış direnci değeri elde edilmesidir. Önerilen giriş hücresi ile gerçeklenmiş DOTA devresi Şekil 3 de görülmektedir. Devrede kullanılan transistorların önemlisi parametreleri:

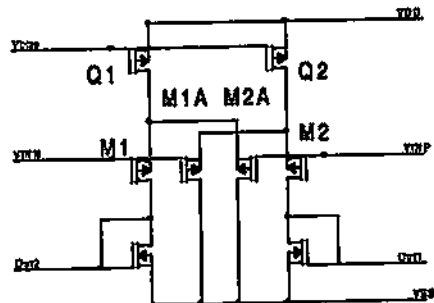
Model Parametresi	NMOS	PMOS
V <sub>T</sub>	0.844	-0.734
UO	462	160
TOX	15.5E-9	15.5E-9

Tablo 1 Model Parametreleri

MOS Transistorların boyutlandırılmaları da aşağıdaki gibi yapılmıştır.:

Önerilen Giriş Hücreli	Klasik Giriş Hücreli
W <sub>M1,M2</sub> =25 $\mu$ m	W <sub>M1,M2</sub> =25 $\mu$ m
W <sub>M1A,M2A</sub> =3 $\mu$ m	-
W <sub>O1,O2,O3</sub> =20 $\mu$ m	W <sub>O1,O3</sub> =20 $\mu$ m
W <sub>C1,C2,C3,C4,K1,K2,K3,K4</sub> =2 $\mu$ m	-
W <sub>C5,C6,K5,K6</sub> =4 $\mu$ m	-
L <sub>O1,O2,O3</sub> =10 $\mu$ m	-

Tablo 2 Eleman Boyutları



Şekil 2 (b) Önerilen giriş hücresi

Diger tüm NMOS transistorlarda W=20 $\mu$ m, PMOS transistorlarda W=40 $\mu$ m dir. Verilmeyen tüm transistorlarda L=3 $\mu$ m dir.

Simülasyonda VDD=2.5V, VSS=-2.5V olarak alınmıştır. Akım kaynağı 20 $\mu$ A olarak alınmış ve böylece simülasyonlar yapılmıştır.

### 4.SİMÜLASYON SONUÇLARI

Simülasyonlar Şekil 3 deki devre esas alarak yapılmış ve sadece giriş hücresi değiştirilmiştir. Böylece önerilen giriş hücresinin klasik giriş hücresi ile karşılaştırılması amaçlanmıştır.

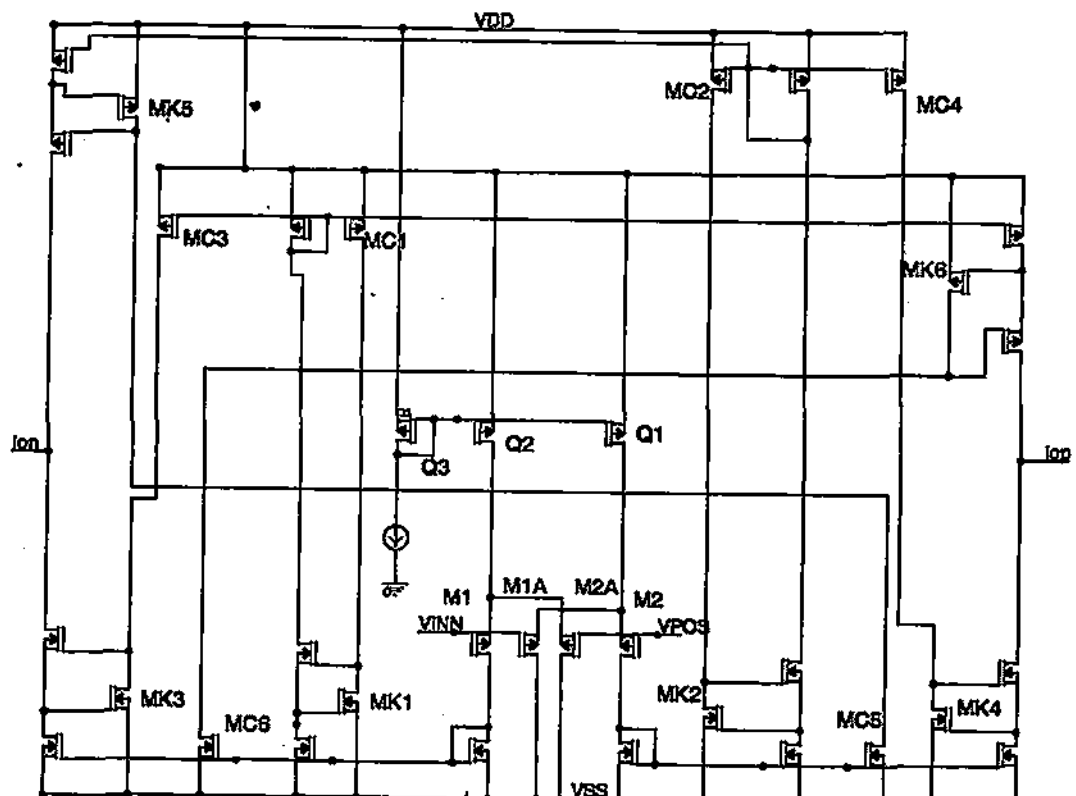
Çıkış akımının giriş gerilimini ile değişimini Şekil 4 ve Şekil 5 de verilmiştir.

Klasik giriş hücresi ile yapılan simülasyon sonuçları Şekil 4 de verilmiştir. Şekil 4 de görülen grafikte çıkış akımının giriş gerilimini lineer olarak takip ettiği bölge 967mV genişliğindedir ve çıkış akımının giriş gerilimi ile olan ilişkisi bu sınırlı sonuma yaklaşıkça lineerlikten uzaklaşlığı görülmektedir.

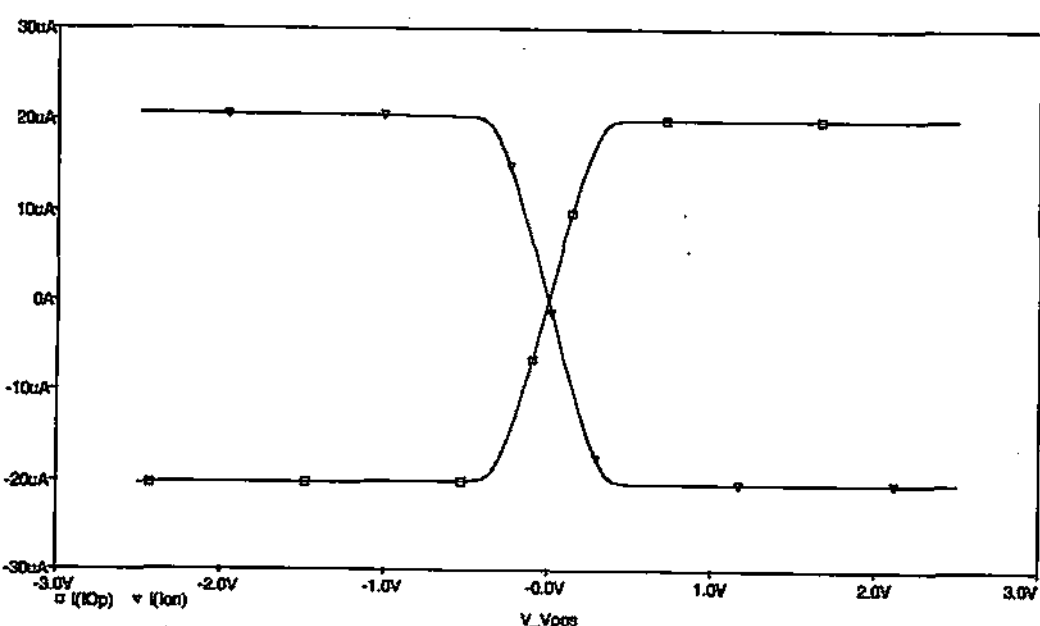
Şekil 5 de ise önerilen giriş hücresi kullanılarak yapılan simülasyon sonuçları verilmiştir. Şekil 5 de görülen grafikte çıkış akımının giriş gerilimini lineer olarak takip ettiği bölge 2,63V genişliğindedir, ve giriş gerilimi ile çıkış akımı arasındaki ilişkinin oldukça lineer ve bu ilişkinin sınır bölgelerin uçlarına kadar lineer olarak devam ettiğini gözlemeaktır.

Geçiş iletkenliğine dair simülasyon sonuçları, klasik giriş katı için Şekil 6, önerilen giriş katı için ise Şekil 7 de verilmiştir. Grafiklerden görüleceği

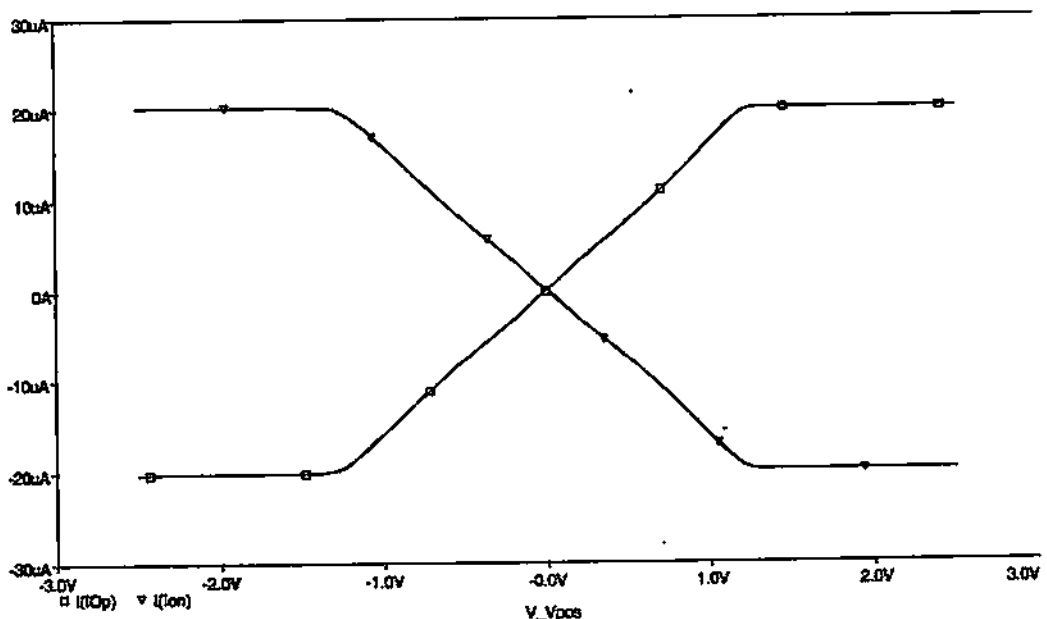
Üzere, önerilen giriş hittresi ile gerçekleştirilmiş devre ile daha yüksek bir  $G_m$  elde edilmiştir.



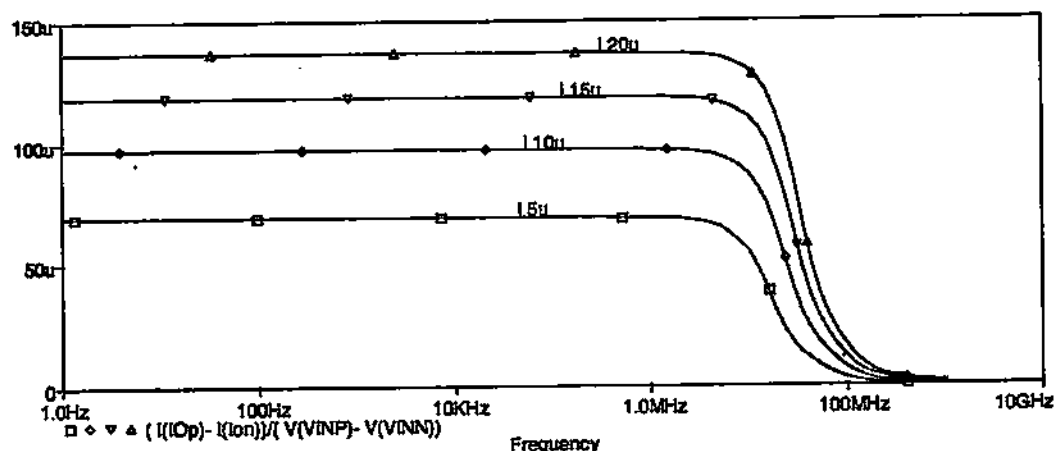
Şekil3 Önerilen giriş katı kullanılarak gerçekleştirilmiş DOTA yapısı



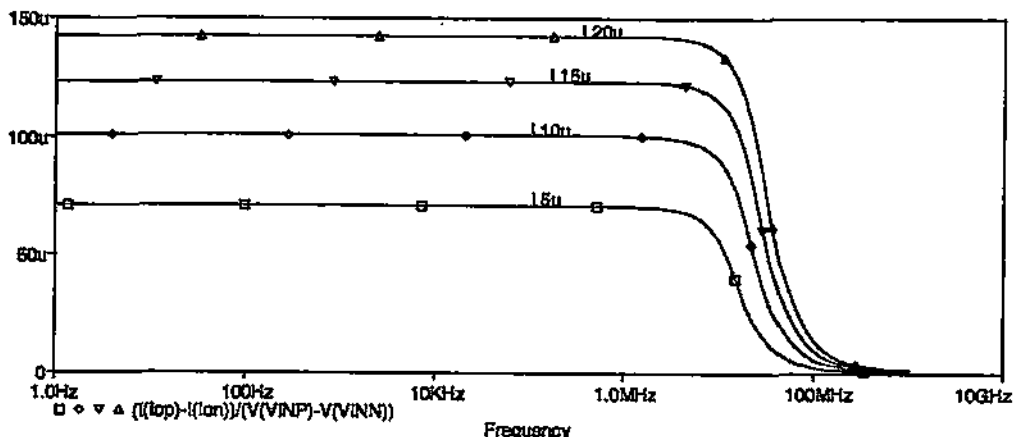
Şekil4 Klasik giriş katı kullanılarak gerçekleştirilmiş simülasyon sonucu



Şekil5 Önerilen giriş katı kullanılarak gerçekleştirilmiş simülasyon sonucu



Şekil6 Klasik giriş katı kullanılarak elde edilmiş  $G_m$



Şekil7 Önerilen giriş katı kullanılarak elde edilmiş  $G_m$

Ayrıca her iki devrenin de çıkış empedansı hesaplanmıştır. Elde edilen değerler Tablo 3 de verilmiştir.

	Önerilen Giriş Katı DOTA	Klasik Giriş Katı DOTA
$R_{op}=R_m$	96 GΩ	84 GΩ
$C_{op}=C_m$	23 fF	22 fF

Tablo 3 Çıkış empedansı ölçüm sonuçları

## 5.SONUÇ

Bu çalışmada dual OTA devresin ile yüksek lineerlige sahip bir giriş katı birlikte kullanılması amaçlanmıştır. Devrenin performansı klasik bir giriş katı ile karşılaştırılarak verilmiştir. Devre topolojisi gereği çok yüksek bir çıkış direncine sahiptir[1]. Bu çalışma sayesinde devrenin çok daha fazla lineer olması sağlanmış ve böylece ileriki uygulamalarda kullanım alanı genişlemiştir. Ayrıca devrenin en önemli avantajlarından biri de gerçekleştirmeye uygun olup, gerçekleştirme sırasında çok fazla bir değişikliğe gerek duymamasıdır.

## KAYNAKLAR

- [1] ZEKİ. A. ve KUNTMAN H.: 'High-output-impedance CMOS dual-output OTA suitable for wide-range continuous-time filtering applications' ELECTRONIC LETTERS, 1999, 16, pp 1295-1296
- [2] NEDUNGADI A. ve VISWANATHAN T. R. : 'Design of Linear CMOS Transconductance Elements' IEEE TRANS. CIRCUITS SYST., vol CAS31, pp 891-894
- [3] ANGULO R. J. ve SINENCO S. E.: 'Active Compensation of Operational Transconductance Amplifier Using Partial Positive Feedback' IEEE JSSC, 1990, vol 25, pp 1024-1028
- [4] ANGULO R. J., SINENCO S. E. ve HOWE M. : 'Large  $f_0Q$  Second Order Filters Using Multiple Output OTAs' IEEE CASII , 1994, vol 41, pp 587-592
- [5] LAKER R. K. Ve SANSEN M.C.W.: 'Design of Analog Integrated Circuits and Systems' McGRAW-HILL, 1994
- [6] JOHNS D. ve MARTIN K.: 'Analog Integrated Circuit Design' JOHN WILEY & SONS, 1997